

7 Teoremas de la divergencia y de Stokes

Si X es una hipersuperficie en \mathbb{R}^n que admite una normal unitaria continua $\nu : X \rightarrow \mathbb{R}^n$, escribiremos (X, ν) para indicar la **variedad orientada** formada por X y la orientación correspondiente a ν mediante la fórmula (62) del apartado 6.3.

7.1 Notación musical

Sea E un espacio vectorial de dimensión n . Hay dos números $\binom{n}{s}$ iguales a n : $\binom{n}{1} = \binom{n}{n-1} = n$. Por lo tanto los espacios E , $\mathcal{A}^1(E)$ y $\mathcal{A}^{n-1}(E)$ son linealmente isomorfos. Sucede que hay dos isomorfismos lineales de gran utilidad cuando se los efectúa, punto a punto, sobre campos. Utilizaremos símbolos musicales para denotarlos.

Definición 165. Sea $U \subseteq \mathbb{R}^n$ un abierto. A cada **campo de vectores** $\mathbf{F} : U \rightarrow \mathbb{R}^n$ le asociamos la $(n-1)$ -forma \mathbf{F}^\flat (“efe becuadro”) que en cada punto $x \in U$ es como sigue:

$$\mathbf{F}_x^\flat(\mathbf{v}_1, \dots, \mathbf{v}_{n-1}) = \det [\mathbf{F}(x) | \mathbf{v}_1 | \dots | \mathbf{v}_{n-1}] ,$$

y también le asociamos la 1-forma \mathbf{F}^\flat (“efe bemol”) que en cada $x \in U$ está dada por:

$$\mathbf{F}_x^\flat(\mathbf{v}) = \mathbf{F}(x) \cdot \mathbf{v} .$$

Damos ahora fórmulas concretas para esos isomorfismos. Si $\mathbf{F} = (f_1(x), \dots, f_n(x))$, entonces:

$$\mathbf{F}^\flat = \sum_{i=1}^n (-1)^{i-1} f_i dx_1 \wedge \dots \wedge \widehat{dx_i} \wedge \dots \wedge dx_n , \quad (95)$$

donde el circunflejo $\widehat{}$ puesto encima de un factor indica que dicho factor ha sido suprimido. Para $n = 2$:

$$\mathbf{F}^\flat = f_1 dy - f_2 dx , \quad (96)$$

y para $n = 3$:

$$\mathbf{F}^\flat = f_1 dy \wedge dz - f_2 dx \wedge dz + f_3 dx \wedge dy , \quad (97)$$

que algunas personas prefieren escribir $\mathbf{F}^\flat = f_1 dy \wedge dz + f_2 dz \wedge dx + f_3 dx \wedge dy$ para exhibir una simetría cíclica, pero no hay simetría cíclica ni en la fórmula (96) ni en la general (95).

Se ve claramente en (95) que $\mathbf{F} \mapsto \mathbf{F}^\flat$ es biyectiva: para cada $(n-1)$ -forma ω en U hay un único campo de vectores \mathbf{F} en U tal que $\omega = \mathbf{F}^\flat$.

Por otra parte, en la fórmula:

$$\mathbf{F}^\flat = f_1 dx_1 + \dots + f_n dx_n , \quad (98)$$

claramente vemos que $\mathbf{F} \mapsto \mathbf{F}^\flat$ es biyectiva de campos de vectores a formas de Pfaff en U .

Es fácil comprobar que las siguientes identidades se cumplen para todo n :

$$\boxed{(\nabla f)^\flat = df} \quad (99)$$

$$\boxed{d(\mathbf{F}^\flat) = (\operatorname{div} \mathbf{F}) \cdot dx_1 \wedge \dots \wedge dx_k} \quad (100)$$

y que la siguiente se cumple para $n = 3$:

$$\boxed{d(\mathbf{F}^\flat) = (\operatorname{rot} \mathbf{F})^\flat} . \quad (101)$$

Las identidades $\operatorname{rot} \nabla f = 0$ y $\operatorname{div}(\operatorname{rot} \mathbf{F}) = 0$ pueden entenderse, gracias a las fórmulas (99), (100) y (101), como dos casos particulares de la fórmula (86) del apartado 6.9.

Se suele decir, a la vista de las fórmulas (99), (100) y (101), que la derivada exterior unifica en un único concepto los tres operadores del Cálculo Vectorial: gradiente, divergencia y rotacional.

Esto es parcialmente cierto: en justicia, hay que reconocer que el rotacional tiene aspectos importantes que quedan ocultos en la derivada exterior. Uno de estos aspectos es que **rot** es un **endomorfismo** del espacio $\ker(\operatorname{div}) = \{\mathbf{F} : \operatorname{div}(\mathbf{F}) = 0\}$ y, como tal, tiene (muchas) **autofunciones**, por ejemplo el campo de vectores $\mathbf{F} = (\cos(\lambda z), -\cos(\lambda x) - \sin(\lambda z), \sin(\lambda x))$ es tal que $\operatorname{rot} \mathbf{F} = \lambda \mathbf{F}$. En cambio la derivada exterior, de 1-formas a 2-formas en \mathbb{R}^3 , no es un endomorfismo y, para que pueda tener autofunciones, es preciso modificarla.

7.2 Flujo a través de un trozo de hipersuperficie

Definición 166. Sean $X \subset \mathbb{R}^n$ una hipersuperficie orientable, $\nu : X \rightarrow \mathbb{R}^n$ la normal unitaria correspondiente a una de las orientaciones de X y $P \subseteq X$ una parcela. El **flujo a través de P en el sentido de ν** de un campo de vectores $\mathbf{F} : P \rightarrow \mathbb{R}^n$ es el siguiente número que puede ser positivo, cero o negativo, según como sea \mathbf{F} :

$$\int_P (\mathbf{F} \cdot \nu) \, d\text{área} , \quad (102)$$

El flujo a través de P y el isomorfismo musical $\mathbf{F} \mapsto \mathbf{F}^\sharp$ están relacionados por el siguiente resultado.

Proposición 167. En las condiciones de la definición 166 se cumple la siguiente igualdad:

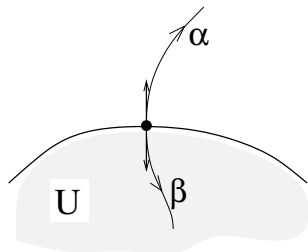
$$\int_{(P, \nu)} \mathbf{F}^\sharp = \int_P (\mathbf{F} \cdot \nu) \, d\text{área} . \quad (103)$$

Véase el apartado 7.7 para la demostración.

A pesar de que las integrales $\int_P f \, d\text{área}$ son del tipo (par), descrito en los apartados 6.4 y 6.5, los dos miembros de la igualdad (103) cambian de signo al cambiar la orientación de P porque la función $\mathbf{F} \cdot \nu$, que estamos integrando en el miembro de la derecha, es sensible a ese cambio. Esto hace posible la proposición 167.

7.3 Dominios elementales

Consideramos una hipersuperficie X en \mathbb{R}^n tal que existe un abierto $U \subset \mathbb{R}^n$ con $\operatorname{Fr} U = X$. Esto requiere que X sea un subconjunto cerrado. Suponemos, además, que U **está a un solo lado de X** . Esto quiere decir que, dado cualquier punto $p \in X$ y las dos normales unitarias que X tiene en p , hay un camino $\alpha(t) : [0, \varepsilon) \rightarrow \mathbb{R}^n$ empezando en $\alpha(0) = p$, con velocidad una de esas normales y disjunto con U , y hay otro camino $\beta(t) : [0, \delta) \rightarrow \mathbb{R}^n$ que empieza en p con velocidad la otra normal y que está contenido en U para $0 < t < \delta$.



Veamos un ejemplo. Dada la esfera $S^{n-1} \subset \mathbb{R}^n$, hay exactamente tres abiertos que la tienen por frontera:

$$B(\mathbf{0}, 1) \quad , \quad \mathbb{R}^n \setminus \overline{B}(\mathbf{0}, 1) \quad \text{y} \quad B(\mathbf{0}, 1) \cup (\mathbb{R}^n \setminus \overline{B}(\mathbf{0}, 1)) .$$

El primer abierto y el segundo están cada uno a un lado de la esfera, mientras que el tercero está a ambos lados.

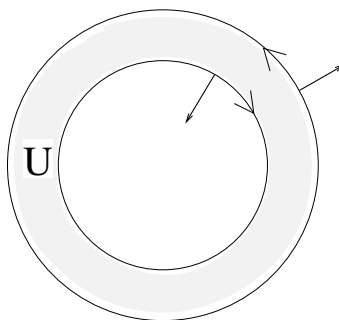
Una vez que el abierto U está a un solo lado de $X = \operatorname{Fr} U$, de las dos normales unitarias que tiene X en cada punto $p \in X$ llamamos **normal exterior a U** a la que es velocidad

de caminos empezando en p y disjuntos con U . La otra normal unitaria se llama **normal interior a U** , pero no la vamos a utilizar.

Por ejemplo, la normal unitaria de S^{n-1} exterior a la bola Euclídea $B(\mathbf{0}, 1)$ es $\nu(x) = x$.

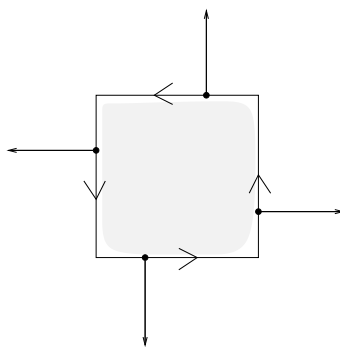
Se demuestra que la normal exterior es continua. Por lo tanto define, a través de la fórmula (62) del apartado 6.3, una *orientación preferida* de la hipersuperficie X , que resulta ser orientable.

Ejemplo. El abierto $U = \{(x, y) : 4 < x^2 + y^2 < 9\}$ es la corona circular abierta con radio menor 2 y radio mayor 3. Su frontera $X = \text{Fr } U$ tiene dos componentes conexas por caminos: la circunferencia de radio 2 y la circunferencia de radio 3. De las *cuatro* orientaciones que admite X , la normal unitaria exterior a la corona elige una preferida. La siguiente figura muestra la normal unitaria exterior a la corona; también muestra las correspondientes orientaciones de las circunferencias, vistas como sentidos de recorrido.



En realidad, para decidir cuál es la normal exterior a U en un punto frontera p no necesitamos conocer todo U ni tampoco toda su frontera: nos basta con lo que ocurre en un pequeño entorno de p . Aplicamos esta observación a un abierto U cuya frontera sea una unión $P_1 \cup \dots \cup P_s$ de parcelas $P_i \subset X_i$ de unas hipersuperficies X_i , $i = 1, \dots, s$. Fijado i definimos $Y_i \subseteq P_i$ como el interior de P_i relativo a X_i . Entonces Y_i es una hipersuperficie y en cada punto $p \in Y_i$ está bien determinada la normal unitaria exterior a U .

La siguiente figura muestra el cuadrado $U = (-1, 1)^2 \subset \mathbb{R}^2$, cuya frontera es unión de cuatro segmentos compactos. Los correspondientes segmentos abiertos son variedades de dimensión 1 en las que la normal unitaria exterior al cuadrado está bien definida y los convierte en curvas orientadas. La figura muestra las normales exteriores al cuadrado y las orientaciones de los segmentos vistas como sentidos de recorrido.



El resto de la frontera del cuadrado (lo que no está en los segmentos abiertos) son las “bisagras”: los vértices donde se encuentran dos segmentos distintos.

Definición 168. Un **dominio elemental** es un abierto **acotado** $U \subseteq \mathbb{R}^n$ y que cumple las siguientes condiciones:

1. $\text{Fr } U$ es unión de una **parte suave** $\partial U = Y_1 \cup \dots \cup Y_s$, con las Y_i hipersuperficies, y una **parte bisagra** $\text{Fr } U \setminus \partial U$ que a su vez es una unión finita de variedades de dimensiones no mayores que $n - 2$.
2. En todo punto $p \in \partial U$ el abierto U está de un solo lado de ∂U .

Por lo explicado, cada una de las “partes suaves” Y_i de $\text{Fr}U$ tiene una orientación preferida, inducida, según la fórmula (62) del apartado 6.3, por la normal unitaria ν exterior a U .

En la parte bisagra puede no estar definida la normal. Pero el área de esta parte es nula y no influye en el valor de las integrales. De hecho, para todo integrando paramétrico L se tiene:

$$\int_{\text{Fr}U} L = \int_{\partial U} L.$$

7.4 Teorema de la divergencia

El siguiente enunciado se conoce como **teorema de la divergencia**. En el caso particular $n = 3$ también se lo llama **teorema de Gauss**.

Teorema 169. *Sea $U \subset \mathbb{R}^n$ un dominio elemental cuyo cierre \overline{U} (que es compacto) está contenido en un abierto un poco mayor: $\overline{U} \subset U_1$. Para todo campo de vectores $\mathbf{F} : U_1 \rightarrow \mathbb{R}^n$ de clase \mathcal{C}^1 , se tiene:*

$$\boxed{\int_U \text{div } \mathbf{F} \, dx_1 \cdots dx_n = \int_{\partial U} (\mathbf{F} \cdot \nu) \, d\text{área}} \quad (104)$$

siendo ν la normal unitaria exterior a U .

Hacemos algún comentario sobre la demostración en el apartado 7.7.

Corolario 170. *Sea $\nu = (\nu_1, \dots, \nu_n)$ la normal exterior a U . Para toda función f de clase \mathcal{C}^1 en U_1 y todo $i \in \{1, \dots, n\}$ se tiene:*

$$\boxed{\int_U f_{x_i} \, dx_1 \cdots dx_n = \int_{\partial U} f \nu_i \, d\text{área}} \quad (105)$$

Resulta de aplicar el teorema de la divergencia al campo $\mathbf{F} = f \mathbf{e}_i$.

Corolario 171. (Integración por partes). *Dadas f, g de clase \mathcal{C}^1 en U_1 y dado un índice $i \in \{1, \dots, n\}$ se tiene:*

$$\int_U f_{x_i} g \, dx_1 \cdots dx_n = - \int_U f g_{x_i} \, dx_1 \cdots dx_n + \int_{\partial U} (f g \nu_i) \, d\text{área}.$$

A continuación enunciamos el corolario que más nos interesa aquí. Se llama **teorema de Stokes para funciones paramétricas**.

Teorema 172. *Sea un abierto $V \subseteq \mathbb{R}^N$ en el que hay definida una $(k-1)$ -forma ω . Sea un dominio elemental $U \subset \mathbb{R}^k$, cuyo cierre \overline{U} está contenido en un abierto un poco más grande U_1 , y sea ∂U la parte suave de $\text{Fr}U$ orientada por la normal ν exterior a U . Dada una función $\Phi : U \rightarrow V$, restricción de una $\Psi : U_1 \rightarrow V$ de clase al menos \mathcal{C}^2 , se tiene:*

$$\boxed{\int_{\Phi} d\omega = \int_{(\partial U, \nu)} \Phi^* \omega} \quad (106)$$

A veces se define el **borde orientado** $\partial\Phi$ de Φ como el par $(\Phi|_{\partial U}, \mathcal{O})$ formado por la restricción de Φ a ∂U y la orientación \mathcal{O} de ∂U inducida por la normal ν exterior a U . Entonces $\int_{(\partial U, \nu)} \Phi^* \omega = \int_{(\partial U, \mathcal{O})} \Phi^* \omega$ también se denota $\int_{\partial\Phi} \omega$ y (106) queda $\int_{\Phi} d\omega = \int_{\partial\Phi} \omega$.

Demostración del teorema 172.

Tenemos $\Psi^* \omega = \mathbf{F}^\sharp$ para un único campo de vectores $\mathbf{F} : U_1 \rightarrow \mathbb{R}^k$. Entonces:

$$\int_{\Phi} d\omega = \int_U \Phi^* d\omega \stackrel{(*)}{=} \int_U d\Phi^* \omega = \int_U d(\mathbf{F}^\sharp) = \int_U (\text{div } \mathbf{F}) \, du_1 \cdots du_k.$$

En la igualdad marcada con $(*)$ hemos utilizado la fórmula (91) del apartado 6.10 y la hipótesis de que Ψ es al menos \mathcal{C}^2 . Por otra parte, por la proposición 167:

$$\int_{(\partial U, \nu)} \Phi^* \omega = \int_{(\partial U, \nu)} \mathbf{F}^\sharp = \int_{\partial U} (\mathbf{F} \cdot \nu) \, d\text{área}.$$

Se deduce la igualdad (106) aplicando el teorema de la divergencia en \mathbb{R}^k . □

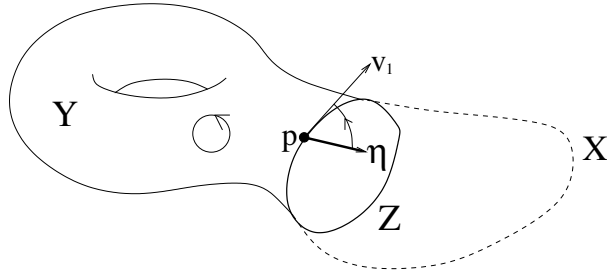
7.5 Teorema de Stokes para variedades

Definición 173. Sea X una variedad en \mathbb{R}^n de dimensión k . Una **variedad con borde** es un subconjunto $Y \subset X$ que está separado del complemento $X \setminus Y$ por otra variedad $Z \subset X$ con $\dim Z = k - 1$. La dimensión de Y es k . La variedad Z se denota ∂Y y se llama **borde** de Y .

Ejemplos. La bola cerrada $\overline{B}(p, r)$ es una variedad con borde de dimensión n en \mathbb{R}^n . Su borde es la variedad de dimensión $n - 1$ que la separa del resto de \mathbb{R}^n , es decir la esfera de centro p y radio r .

El segmento $Y = \{2\} \times [0, 1] \times \{4\}$ es una variedad con borde de dimensión 1 en \mathbb{R}^3 , contenida en la recta $X = \{x = 2, z = 4\}$. El borde ∂Y es el conjunto de dos puntos $\{(2, 0, 4), (2, 1, 4)\}$, pues separa el segmento del resto de la recta X .

En cada punto $p \in \partial Y$ tenemos dos **conormales unitarias**, que son los vectores unitarios tangentes a X y normales a ∂Y . Entre ellas se distingue la **conormal exterior a Y** de manera enteramente análoga a lo explicado para dominios en el apartado 7.3. Si además Y está orientada entonces se induce una orientación en ∂Y de la siguiente manera. Dado $p \in \partial Y$, una base ordenada $\{\mathbf{v}_1, \dots, \mathbf{v}_{k-1}\}$ de $T_p \partial Y$ pertenece a la orientación inducida si al añadir en el primer puesto la conormal η_p exterior a Y resulta una base ordenada $\{\eta_p, \mathbf{v}_1, \dots, \mathbf{v}_{k-1}\}$ perteneciente a la orientación de Y .



Enunciamos ya el teorema de Stokes para variedades.

Teorema 174. Sea $U \subseteq \mathbb{R}^n$ un abierto en el que hay definida una $(k - 1)$ -forma ω . Sea Y una variedad **compacta** con borde de dimensión k contenida en U . Si Y está orientada y damos a ∂Y la orientación inducida, entonces:

$$\boxed{\int_Y d\omega = \int_{\partial Y} \omega} \quad (107)$$

Idea de la demostración. Para una parcela $P \subset Y$ y su borde ∂P el teorema es un corolario del 172. En general Y no se puede cubrir por una única parametrización biyectiva $\Phi : U \rightarrow Y$, por lo que es preciso hacerle una parcelación. Entonces $\int_Y d\omega$ es la suma de las integrales de $d\omega$ sobre las parcelas. Dicha suma es igual a la suma Σ de las integrales de ω sobre los bordes orientados de las parcelas. Una parte del borde común a dos parcelas recibe orientaciones opuestas de ellas, por lo que contribuye cero a la suma total de integrales de ω . Las partes pertenecientes al borde de una sola parcela forman una parcelación de ∂Y y tienen la misma orientación que ∂Y , luego la suma Σ es igual a $\int_{\partial Y} \omega$. \square

Nos fijamos ahora en un caso particular: $n = 3$ y $k = 2$. Tenemos, pues, un abierto $U \subseteq \mathbb{R}^3$, una forma de Pfaff ω definida en U y una superficie compacta con borde $Y \subset U$ que además está orientada por una normal unitaria ν . El borde ∂Y es una unión de curvas cerradas orientadas. Tomamos el único campo de vectores $\mathbf{F} : U \rightarrow \mathbb{R}^3$ tal que $\omega = \mathbf{F}^\flat$ y tenemos:

$$\int_{\partial Y} \mathbf{F}^\flat = \int_Y d\mathbf{F}^\flat = \int_Y (\mathbf{rot} \mathbf{F})^\sharp = \int_Y (\mathbf{rot} \mathbf{F}) \cdot \nu \, d\text{área},$$

Es decir $\int_{\partial Y} \mathbf{F} \cdot d\mathbf{s} = \int_Y \mathbf{rot} \mathbf{F} \cdot d\mathbf{S}$, que es el **teorema de Stokes clásico**.

La demostración a base de parcelas que hemos hecho del teorema 174 sirve también para el caso en que Y es una **variedad cerrada**, es decir compacta con borde vacío, obteniéndose:

$$\partial Y = \emptyset \implies \int_Y d\omega = 0. \quad (108)$$

En efecto, hacemos una parcelación de Y y ahora resulta que todo trozo de borde es común a dos parcelas; luego contribuye cero a la suma de integrales de ω sobre los bordes orientados de las parcelas. Entonces dicha suma es nula, que es lo que se afirma en (108).

Proposición 175. *Fijamos un abierto $U \subseteq \mathbb{R}^n$. Para que una k -forma μ sea exacta en U es necesario que sea cerrada y además que su integral sobre cualquier variedad cerrada $Y \subset U$ de dimensión k sea nula.*

Ejemplo. Sea $U = \mathbb{R}^3 \setminus \{\mathbf{0}\}$. En este abierto consideramos la siguiente 2-forma:

$$\mu = \frac{1}{(x^2 + y^2 + z^2)^{3/2}} (x dy \wedge dz - y dx \wedge dz + z dx \wedge dy),$$

y se comprueba que $d\mu \equiv 0$, o sea que μ es cerrada. Además $\mu = \mathbf{F}^\sharp$, donde $\mathbf{F} = \mathbf{r}/r^3$ es el **campo gravitatorio** (o el electrostático). La esfera unidad S^2 está contenida en U y el flujo de \mathbf{F} a su través, según la normal exterior a la bola $\nu = \mathbf{r}$, es:

$$\int_{S^2} (\mathbf{F} \cdot \nu) d\text{área} = \int_{S^2} r^{-3} (\mathbf{r} \cdot \mathbf{r}) d\text{área} = \int_{S^2} 1 \cdot d\text{área} = \text{área}(S^2) = 4\pi,$$

distinto de cero. Luego μ es cerrada pero no exacta en U . En vista de la fórmula (101), este resultado nos dice que el campo gravitatorio \mathbf{F} no tiene ningún **potencial vector** en U , es decir no existe ningún campo \mathbf{G} de clase al menos \mathcal{C}^1 en todo U y tal que $\mathbf{F} = \text{rot } \mathbf{G}$. Por supuesto, sí que tiene potenciales vector en cada abierto *convexo* $V \subset U$; lo que ocurre es que es imposible “pegar” esos potenciales vector de modo a obtener uno definido en todo U . Los libros de Física no muestran un potencial vector para el campo gravitatorio en $\mathbb{R}^3 \setminus \{\mathbf{0}\}$... por una buena razón.

7.6 Casos especiales

Cuando $k = n = 2$ el teorema de Stokes es el **teorema de Green**, que afirma que si $\omega \equiv P(x, y) dx + Q(x, y) dy$ es una forma de Pfaff, definida en un abierto del plano que contenga la adherencia \overline{U} de un dominio elemental U , y damos al borde ∂U la orientación inducida por la normal exterior a U , entonces:

$$\int_{\partial U} (P dx + Q dy) = \iint_U (Q_x - P_y) dx dy.$$

Pero ahora tenemos una ayuda para recordar, sin equivocarnos, cuál es el integrando de la integral doble, porque:

$$\begin{aligned} d(P dx + Q dy) &= dP \wedge dx + dQ \wedge dy = \\ &= (P_x dx + P_y dy) \wedge dx + (Q_x dx + Q_y dy) \wedge dy = \\ &= P_y dy \wedge dx + Q_x dx \wedge dy = (Q_x - P_y) dx \wedge dy. \end{aligned}$$

Por último vamos a estudiar el caso $k = 1$. Ahora tenemos una 0-forma en un abierto $U \subseteq \mathbb{R}^n$, es decir una función escalar $f : U \rightarrow \mathbb{R}$. El dominio elemental es un intervalo $U = (a, b) \subset \mathbb{R}$ y la función paramétrica es un camino $\alpha(t) : (a, b) \rightarrow U$ restricción de un $(a', b') \rightarrow U$ definido en un intervalo más grande: $a' < a$ y $b' > b$; por lo tanto también está definido $\alpha : [a, b] \rightarrow U$.

Definiciones 176. Sea $M \subset \mathbb{R}^n$ una variedad compacta de dimensión 0, es decir un conjunto finito de puntos. Una **orientación** de M es un objeto \mathcal{O} que coloca en cada punto $p \in M$ una de las dos etiquetas “salida” o “llegada”.

Si (M, \mathcal{O}) es una variedad orientada de dimensión 0 y f es una función escalar (una 0-forma) definida en los puntos de M , la **integral de f sobre (M, \mathcal{O})** es el número:

$$\int_{(M, \mathcal{O})} f \stackrel{\text{def}}{=} \sum_{p \text{ punto de llegada} \in M} f(p) - \sum_{p \text{ punto de salida} \in M} f(p).$$

Para $M = \emptyset$ definimos $\int_M f = 0$.

Un conjunto M de N puntos tiene 2^N orientaciones. El caso que aquí nos interesa es el de un camino $\alpha(t) : [a, b] \rightarrow U$ y $M = \{\alpha(a), \alpha(b)\}$ el conjunto de sus extremos. Cuando el camino no es *cerrado*, este conjunto tiene dos elementos y admite 4 orientaciones. De entre estas cuatro elegimos la “especial”, para la cual el punto inicial $\alpha(a)$ es de salida y el punto final $\alpha(b)$ es de llegada.

Definición 177. Sea $\alpha(t) : [a, b] \rightarrow U$ un camino. El **borde de α** es el objeto $\partial\alpha$ que se define de la manera siguiente. Si α es un camino cerrado entonces $\partial\alpha = \emptyset$. Si α no es cerrado entonces $\partial\alpha$ es la variedad de dimensión cero $\{\alpha(a), \alpha(b)\}$ con la orientación para la cual $\alpha(a)$ es de salida y $\alpha(b)$ es de llegada.

Con esas definiciones, tenemos:

$$\int_{\partial\alpha} f = f(\alpha(b)) - f(\alpha(a)),$$

tanto si α es cerrado como si no lo es. Pero sabemos desde el capítulo 5 que:

$$f(\alpha(b)) - f(\alpha(a)) = \int_{\alpha} df.$$

Juntando las dos igualdades, deducimos:

$$\int_{\alpha} df = \int_{\partial\alpha} f.$$

7.7 Demostraciones

Demostración de la proposición 167. En el apartado 1.1 hemos definido el concepto de **matriz de Gram** de una sucesión de vectores $\mathbf{v}_1, \dots, \mathbf{v}_k$, que es semidefinida positiva y por lo tanto

con determinante no negativo. Por ejemplo, para $\mathbf{v}_1 = \begin{bmatrix} -2 \\ 1 \\ 3 \end{bmatrix}$ y $\mathbf{v}_2 = \begin{bmatrix} 7 \\ 2 \\ 2 \end{bmatrix}$ dicha matriz es:

$$\begin{bmatrix} \mathbf{v}_1 \cdot \mathbf{v}_1 & \mathbf{v}_1 \cdot \mathbf{v}_2 \\ \mathbf{v}_2 \cdot \mathbf{v}_1 & \mathbf{v}_2 \cdot \mathbf{v}_2 \end{bmatrix} = \begin{bmatrix} \mathbf{v}_1^t \mathbf{v}_1 & \mathbf{v}_1^t \mathbf{v}_2 \\ \mathbf{v}_2^t \mathbf{v}_1 & \mathbf{v}_2^t \mathbf{v}_2 \end{bmatrix} = \begin{bmatrix} -2 & 1 & 3 \\ 7 & 2 & 2 \end{bmatrix} \begin{bmatrix} -2 & 7 \\ 1 & 2 \\ 3 & 2 \end{bmatrix} = \begin{bmatrix} 14 & -6 \\ -6 & 57 \end{bmatrix}.$$

De igual modo, la matriz de Gram de las columnas $\Phi_{u_1}, \dots, \Phi_{u_k}$ de $D\Phi$ es la matriz $(D\Phi)^t D\Phi$ que en el apartado 6.5 hemos llamado “matriz pequeña”. La fórmula (70) de dicho apartado es consecuencia inmediata de la siguiente identidad algebraica:

$$\|\Delta(\mathbf{v}_1, \dots, \mathbf{v}_k)\|_2^2 = \det(\text{matriz de Gram de } \mathbf{v}_1, \dots, \mathbf{v}_k). \quad (109)$$

Tenemos una parametrización regular y biyectiva $\Phi(u_1, \dots, u_{n-1}) : D \rightarrow P$, compatible con ν según la fórmula (62) del apartado 6.3. Para cada $u \in D$ los vectores:

$$\nu(\Phi(u)), \Phi_{u_1}(u), \dots, \Phi_{u_{n-1}}(u),$$

forman una base de \mathbb{R}^n con determinante positivo. La utilizamos para describir cualquier campo $\mathbf{F} : P \rightarrow \mathbb{R}^n$ como combinación lineal:

$$\mathbf{F}(\Phi(u)) = g_1(u) \nu(\Phi(u)) + g_2(u) \Phi_{u_1}(u) + \cdots + g_n(u) \Phi_{u_{n-1}}(u) .$$

Nótese que $g_1 = \mathbf{F} \cdot \nu$. El miembro izquierdo de (103) es igual a lo siguiente:

$$\begin{aligned} & \int_D \det [\mathbf{F}(\Phi(u)) | \Phi_{u_1} | \cdots | \Phi_{u_{n-1}}] du_1 \cdots du_{n-1} = \\ &= \int_D \det [g_1(u) \nu(\Phi(u)) | \Phi_{u_1} | \cdots | \Phi_{u_{n-1}}] du_1 \cdots du_{n-1} = \\ &= \int_D (\mathbf{F} \cdot \nu)_{\Phi(u)} \det [\nu(\Phi(u)) | D\Phi] du_1 \cdots du_{n-1} . \end{aligned}$$

Ahora bien:

$$\begin{aligned} & \det \left([\nu(\Phi(u)) | D\Phi] \right)^2 = \det \left([\nu(\Phi(u)) | D\Phi]^t [\nu(\Phi(u)) | D\Phi] \right) = \\ &= \det \left(\left[\frac{\nu(\Phi(u))^t}{(D\Phi)^t} \right] [\nu(\Phi(u)) | D\Phi] \right) = \det \left[\begin{array}{c|c} 1 & \mathbf{0} \\ \hline \mathbf{0} & (D\Phi)^t D\Phi \end{array} \right] . \end{aligned}$$

En la última matriz son nulas las cajas fuera de la diagonal porque los vectores $\Phi_i(u)$ son tangentes a la parcela P en el punto $\Phi(u)$, luego ortogonales a $\nu(\Phi(u))$. Así llegamos a la identidad $\det \left([\nu(\Phi(u)) | D\Phi] \right)^2 = \det ((D\Phi)^t D\Phi)$ y, utilizando (109), obtenemos:

$$\det \left([\nu(\Phi(u)) | D\Phi] \right)^2 = \|\Delta(D\Phi)\|_2^2 , \quad (110)$$

Como por hipótesis Φ es compatible con ν , es $\det ([\nu(\Phi(u)) | D\Phi]) > 0$ y de (110) deducimos que $\det ([\nu(\Phi(u)) | D\Phi]) = \|\Delta(D\Phi)\|_2$, luego:

$$\int_{(P,\nu)} \mathbf{F}^\sharp = \int_D (\mathbf{F} \cdot \nu)_{\Phi(u)} \|\Delta(D\Phi)\|_2 du_1 \cdots du_{n-1} = \int_P (\mathbf{F} \cdot \nu) d\text{área} .$$

□

Demostración del teorema 169. Existen básicamente tres demostraciones: por particiones de la unidad, por cálculo de variaciones y por flujos. Aquí sólo explicamos algunas ideas de la demostración por flujos.

El **flujo**³ de un campo de vectores \mathbf{F} es una familia de difeomorfismos φ_t entre abiertos de \mathbb{R}^n que satisface el sistema de ecuaciones diferenciales $\frac{\partial}{\partial t} \varphi_t(x) = \mathbf{F}(\varphi_t(x))$ y además $\varphi_0 = \text{id}$. Para dominios muy pequeños $E \subset U$ y un punto $p \in E$, se tiene

$$(\text{div } \mathbf{F})_p \cdot \text{Vol}(E) \approx \left. \frac{d}{dt} \right|_{t=0} \text{Vol}(\varphi_t(E)) ,$$

con un error que, a medida que reducimos E , se va haciendo despreciable frente a $\text{Vol}(E)$. Si vamos partiendo U en dominios cada vez más pequeños, en el límite obtenemos:

$$\int_U (\text{div } \mathbf{F}) dx_1 \cdots dx_n = \left. \frac{d}{dt} \right|_{t=0} \text{Vol}(\varphi_t(U)) . \quad (111)$$

Por otra parte la diferencia de volúmenes $\text{Vol}(\varphi_t(U)) - \text{Vol}(U)$ viene dada por lo que $\varphi_t(U)$ sobresale de U menos lo que se mete dentro de U . Partiendo de esta idea, no es difícil ver que

$$\text{Vol}(\varphi_t(U)) - \text{Vol}(U) = t \cdot \int_{\partial U} (\mathbf{F} \cdot \nu) d\text{área} + o(|t|) ,$$

de donde:

$$\left. \frac{d}{dt} \right|_{t=0} \text{Vol}(\varphi_t(U)) = \int_{\partial U} (\mathbf{F} \cdot \nu) d\text{área} . \quad (112)$$

Juntando (111) y (112) tenemos el teorema de la divergencia. □

³No confundir con “flujo a través”, que es un número definido en el apartado 7.2.